

Вещество	Добавка	Концентрация добавки $C \cdot 10^3 \text{ М}$	Q , отн. ед.
Незамещенный родамин в этаноле $C=5 \cdot 10^{-5} \text{ М}$ *	Антрацен	0	450
		2	900
		3	800
	9-Ацетилантрацен	2	920
		6	1000
		12	790
		24	540
	Антрацен	2	150
		3	590
		4	380
	9-Ацетилантрацен	2	1.2
		3	120
Флуоресцеин-На в этаноле $C=10^{-4} \text{ М}$ *		6	200
		12	430
		24	610
	Антрацен	1	49
		2	65
		3	87
	9-Ацетилантрацен	2	0.62
		3	0.96
		6	1.40
		12	0.50
3-Ацетиламино-6-амино-N- метилфталимид в этаноле $C=5 \cdot 10^{-4} \text{ М}$ **	Антрацен	1	49
		2	65
		3	87
	9-Ацетилантрацен	2	0.62
		3	0.96
		6	1.40
		12	0.50

* Спектральная область вынужденного излучения с центром $\lambda_T = 560 \text{ нм}$.

** Спектральная область вынужденного излучения с центром $\lambda_T = 540 \text{ нм}$.

шульсов ламповой накачки генерацию на этанольных растворах флуоресцеина-На получить не удается. Добавление в этот раствор антрацена ($C=3 \cdot 10^{-3} \text{ М}$) или 9-ацетил-А ($C=24 \cdot 10^{-3} \text{ М}$) позволяет получить энергию генерации, сравнимую с наблюдаемой у этанольных растворов незамещенного родамина и тех же условиях оптической накачки с помощью обычных импульсных ламп. Уместно напомнить, что ранее [2] была показана принципиальная возможность генерации вынужденного излучения этанольными растворами незамещенного родамина в непрерывном режиме.

В заключение авторы приносят благодарность А. С. Черкасову за полезные советы при выполнении работы и обсуждении ее результатов.

Литература

- [1] А. В. Аристов, Ю. С. Маслюков. Опт. и спектр., 32, 1167, 1972.
[2] А. В. Аристов, Ю. С. Маслюков. Опт. и спектр., 32, 342, 1972.

Поступило в Редакцию 21 июня 1971 г.

УДК 535.33/34 : 548.0

МАГНИТООПТИЧЕСКИЕ ИССЛЕДОВАНИЯ $f-d$ -ПЕРЕХОДОВ ИОНА Yb^{2+} В КРИСТАЛЛАХ ТИПА ФЛЮОРИТА

B. C. Запасский и H. B. Старостин

В последние годы был проведен ряд исследований магнитной циркулярной анизотропии кристаллов с редкоземельными активаторами в области широких полос поглощения, обусловленных дипольными межконфигурационными переходами в смешанные конфигурации типа $4f^n-15d$ [1]. Эти исследования носили в основном качественный характер, так как перенесение на активаторные центры методов, развитых применительно к F-центрам в кристаллах, наталкивается на ряд трудностей. В частности, полосы поглощения, обусловленные переходами на отдельные кристаллические подуровни смешанных конфигураций, сильно перекрываются, и выделение элементарных составляющих не всегда возможно.

С этой точки зрения интересным объектом исследования является ион $\text{Yb}^{2+}(4f^{14}S_0)$ в кристаллах типа флюорита (MeF_2). Спектр поглощения ионов Yb^{2+} состоит из ряда широких полос [2-4], наиболее длинноволновая из которых достаточно хорошо изоли-

рована и соответствует переходу из основного невырожденного состояния на отдельный кристаллический подуровень симметрии Γ_4 смешанной конфигурации $4f^{13}5d$ [5,6]. Цель данной работы — исследование магнитного циркулярного дихроизма (МЦД) длинноволновой полосы поглощения иона Yb^{2+} в кристаллах типа флюорита для определения фактора спектроскопического расщепления (g -фактора) состояния Γ_4 и изучения характера его поведения при изменении силы кристаллического поля.

Исследования проводились при температуре 4.2°K на монокристаллических образцах CaF_2 , SrF_2 и BaF_2 ($H \parallel [111]$) с концентрацией иттербия порядка нескольких десятых молярного процента. Для измерений спектров МЦД применялась описанная ранее [7] методика сильнохроматической фазовой пластинки. В данном случае установка, приспособленная для работы в ультрафиолетовой области спектра, имела две особенности: сильнохроматической пластинкой служил цилиндр из кристаллического кварца длиной ~ 110 мм, а четверть-волновой пластинкой являлась пластинка плавленного кварца, находившаяся под постоянным одноосным делением в направлении, перпендикулярном оптической оси системы. Давление подбиралось таким образом, чтобы пластина была точно четверть-волновой для длины волны, соответствующей центру полосы, при этом хроматизм пластины давал погрешность измерения в пределах полосы поглощения менее 5%. Магнитное поле создавалось сверхпроводящим соленоидом.

На рис. 1 изображены спектры поглощения при температуре 4.2°K и эксперимен-

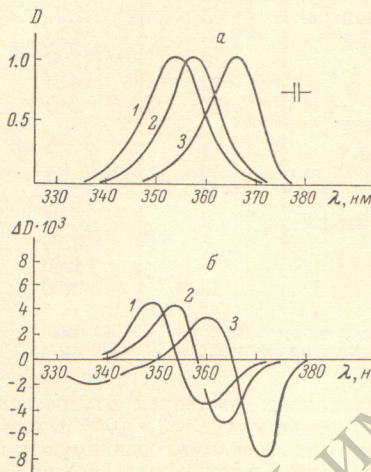


Рис. 1. Спектры поглощения (а) и магнитного циркулярного дихроизма (б) иона Yb^{2+} в кристаллах CaF_2 , SrF_2 и BaF_2 .

$T = 4.2^\circ\text{K}$, $H = 45$ кэ. 1 — $\text{BaF}_2\text{-Yb}^{2+}$,
2 — $\text{SrF}_2\text{-Yb}^{2+}$, 3 — $\text{CaF}_2\text{-Yb}^{2+}$.

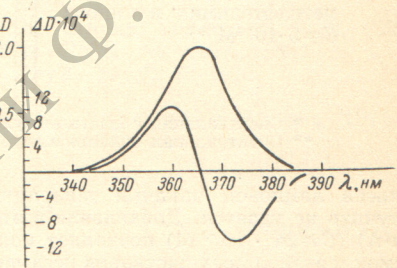


Рис. 2. Спектры поглощения и магнитного циркулярного дихроизма иона Yb^{2+} в кристалле CaF_2 . $T = 300^\circ\text{K}$, $H \sim 10$ кэ.

тальные кривые МЦД иттербия в исследованных кристаллах. Как и следовало ожидать на основании изучения магнитооптического вращения в области этой полосы [5], кривые имеют характерный диамагнитный вид. Искаженная форма спектра МЦД кристалла $\text{CaF}_2\text{-Yb}^{2+}$, по-видимому, связана с наличием в природном флюорите других, например, церевых, примесных центров. Вклад, вносимый ими в спектр МЦД, имеет параметрический характер, что подтверждается температурной зависимостью дихроизма — при температуре 300°K искажающая добавка исчезает, и спектр МЦД приобретает чисто диамагнитный вид (рис. 2).¹ При анализе спектра МЦД кристалла $\text{CaF}_2\text{-Yb}^{2+}$ использовалась только длинноволновая часть спектра ($\lambda > 365$ нм), которую, видимо, можно считать неискаженной. Спектр МЦД, записанный при комнатной температуре, не обрабатывался, поскольку поле в использованном магните достаточно неоднородно и получение точных количественных результатов затруднено.

Значение g -фактора может быть определено на основе полученных данных с помощью метода моментов [8]:

$$\Delta E = g^3 H = \langle \Delta E_+ \rangle = -\langle \Delta E_- \rangle = 1/2 [\langle \Delta E_+ \rangle - \langle \Delta E_- \rangle], \quad (1)$$

где (ΔE_{\pm}) — обусловленные магнитным полем изменения в первых моментах полосы поглощения для правой (σ_+) и левой (σ_-) циркулярных поляризаций света

$$\langle \Delta E_{\pm} \rangle = 1/A \int (E - \bar{E}) \Delta f_{\pm} dE. \quad (2)$$

Здесь Δf_{\pm} — изменение функции полосы поглощения в магнитном поле ($f_{\pm} = f^0 + \Delta f_{\pm}$), A — площадь или нулевой момент полосы, \bar{E} — первый момент или центр тяжести полосы

$$A = \int f(E) dE, \quad \bar{E} = A^{-1} \int Ef(E) dE. \quad (3)$$

¹ Измерения при 300°K производились в электромагните с железным сердечником.

Функция формы полосы $f_{\pm}(E)$ связана с измеряемой на опыте оптической плотностью $D_{\pm}(E)$ соотношением

$$D_{\pm}(E) = CEf_{\pm}(E), \quad (4)$$

где C — постоянная, характерная для рассматриваемой системы. Поскольку $f_+ - f_- = \Delta f_+ - \Delta f_-$, то для величины ΔE , согласно (1) — (4), имеем

$$\Delta E = 1/2 \cdot \int (E - \bar{E}) E^{-1} (D_+ - D_-) dE / \int E^{-1} D(E) dE, \quad (5)$$

где $\bar{E} = \int D(E) dE / \int E^{-1} D(E) dE$.

В результате вычислений по формуле (5) найдены значения ΔE и факторы спектроскопического расщепления состояния Γ_4 в магнитном поле H : $g = \Delta E / \beta H$, $\beta = 0.0467 \text{ см}^{-1}/\text{к} \circ$. Полученные величины приведены в таблице.

Значения g -факторов демонстрируют явную зависимость от силы кристаллического поля — при переходе от CaF_2 к BaF_2 g -фактор уменьшается в два раза. g -Фактор рассматриваемого состояния для случая $\text{CaF}_2\text{-Yb}^{2+}$ был вычислен в работе [9] путем диагонализации полной матрицы энергии конфигурации $4f^{13}5d$ в кубическом поле кристалла с использованием параметров кулоновского и спин-орбитального взаимодействий свободного иона Yb^{2+} . Он оказался равным 1.98. Существенное расхождение данных этого расчета и результатов эксперимента, а также полученная сильная зависимость g -фактора от силы кристаллического поля указывают на доминирующее влияние кристаллического поля на волновые функции смешанной конфигурации $4f^{13}5d$ иона Yb^{2+} (приближение сильного кристаллического поля для 5d-электрона), что отмечалось ранее в ряде работ [4, 10].

На основании полученных значений g -факторов состояния Γ_4 нами были построены зависимости $D_+ - D_-$ в приближении жесткого сдвига, когда полоса поглощения (в s_+ - или s_- -поляризации) сдвигается в магнитном поле как целое без изменения формы. При этом

$$[D_+ - D_-]_{\text{ж.-с.}} = 2 [dD(E)/dE] g \beta H. \quad (6)$$

В пределах погрешности эксперимента кривые жесткого сдвига и экспериментальные кривые совпали, что указывает, по-видимому, на преобладающую роль кубических колебательных мод в уширении исследованных полос.

Авторы благодарны П. П. Феофилову за постоянный интерес к работе и стимулирующие дискуссии.

Литература

- [1] Н. В. Старостин, П. П. Феофилов. Усп. физ. наук, 97, 621, 1969.
- [2] П. П. Феофилов. Опт. и спектр., 1, 992, 1956.
- [3] А. А. Каплянский, П. П. Феофилов. Опт. и спектр., 13, 235, 1962.
- [4] E. Loh. Phys. Rev., 175, 533, 1968.
- [5] Л. А. Алексеева, Н. В. Старостин, П. П. Феофилов. Сб. «Спектроскопия кристаллов». Изд. «Наука», М., 1970.
- [6] М. В. Еремин. Опт. и спектр., 29, 100, 1970.
- [7] В. С. Запасский. Опт. и спектр., 31, 291, 1971.
- [8] C. H. Neagu, S. E. Schnatterly, C. P. Slichter, Phys. Rev., 137, 583, 1965.
- [9] М. В. Еремин, А. М. Леушин. Тез. докл. III симп. по спектр. кристаллов, Л., 1970.
- [10] Н. В. Старостин. Опт. и спектр., 23, 486, 1967.

Поступило в Редакцию 25 июня 1971 г.